

بِسْمِ اللّٰهِ الرَّحْمٰنِ الرَّحِيْمِ



دانشگاه کاشان

پژوهشکدهی علوم و فناوری نانو

پایان نامه

جهت اخذ درجه دکتری

در رشته علوم و فناوری نانو گرایش نانوشیمی

عنوان:

نهشت لایه‌های نانوساختار نیمرسانا بر سطح TiO_2 به کمک روش‌های

شیمیایی مختلف و بررسی عملکرد آن‌ها در سلول‌های خورشیدی حساس

شده با رنگینه

استاد راهنما:

دکتر مسعود صلواتی نیاسری

توسط:

محمد ثابت

خرداد ۱۳۹۴

تقدیم به

همسر مهربانم که قدم به قدم با من همراه شد.

سپاس‌گزاری

منت خدای راعن و جل که طاعت‌ش موجب قربتست و به شکر اندرش مزید نعمت هر نفسی که فرمی رو
مدد حیاتست و چون بر می‌آید مفرح ذات پس در هر نفسی دو نعمت موجودست و بر هر نعمت شکری واجب

به مصدق «من لم يشكر المخلوق لم يشكر الخالق» بسی شایسته است که از استاد ارجمند
جناب آقای پروفسور صلواتی نیاسری که راهنمایی این رساله را به عهده داشتند و به خاطر زحماتی که
در این مدت متقبل شدند بینهایت تشکر و سپاس‌گزاری نمایم و توفیق ایشان در تمامی مراحل زندگی را از
خداآوند متعال خواستارم.

از جناب آقای پروفسور بدیعی به عنوان داور خارج از دانشگاه و آقایان دکتر همدانیان و دکتر
اکبری به عنوان داوران داخل دانشگاه که مطالعه‌ی پایان‌نامه‌ی این‌جانب را بر عهده گرفته و در جلسه‌ی دفاع
شرکت نمودند بسیار سپاس‌گزارم. همچنین از جناب آقای دکتر سلطانی که به عنوان نماینده‌ی تحصیلات
تمکیلی در جلسه‌ی دفاع حضور به عمل رساندند کمال تشکر را دارم.

از تمامی هم آزمایشگاهی‌هايم که در این مدت من را تحمل کردند نیز بسیار سپاس‌گزارم.

متشکرم از پدر و مادرم، آنهايي که نه میتوانم موهايشان را که در راه عزت من سفید شد، سیاه کنم و نه
برای دستهای پینه بسته شان که ثمره تلاش برای افتخار من است، مرهمی دارم. پس، از خداوند متعال
خواهانم تا توفیقم دهد که هر لحظه شکرگزارشان باشم و ثانیه‌های عمرم را در عصای دست بودنشان
بگذرانم.

متشکرم از همسرم، که سایه مهربانیش سایه سار زندگانیم است، او که در زندگی من اسوه صبر و تحمل
بوده و مشکلات مسیر را همواره برایم تسهیل نمود. متشکرم از او که قدم به قدم در مسیر زندگی با من
همراه گردید و در آینده‌ای نزدیک مادری مهربان برای فرزندم خواهد بود. بسیار متأسف و ناراحت از آنم
که حضور او را در این جلسه میسر نگردید و امیدوارم بتوانم ذره‌ای از محبت‌های او را جبران کرده و
تکیه‌گاهی امن برای او و فرزندم باشم.

چکیده

در این کار تحقیقاتی چهار نانوساختار نیمه‌رسانای CdS، PbS، CdSe و CdTe انتخاب گردید و با روش‌های شیمیایی ارزان، سریع و در دسترس نظری SILAR، لایه نشانی حمام شیمیایی، ریخته‌گری قطره‌ای و مایکروویو بر سطح TiO_2 لایه نشانی شد. نتایج نشان داد که روش‌های لایه‌نشانی تأثیر زیادی بر عملکرد سطوح حاصل در سلول‌های خورشیدی حساس شده با رنگینه می‌گذارند. در واقع این روش‌ها با ایجاد سطوح با میزان ترک‌های سطحی مختلف، در حرکت الکترون‌ها در سطح الکترود و ورود آن‌ها به مدار خارجی تأثیر گذاشته که منجر به تغییر در عملکرد می‌شوند. با انجام آزمون‌های مختلف، SILAR به عنوان بهترین روش لایه‌نشانی شناخته شد. نتایج حاصل نشان داد که تمامی نیمه‌رساناهای مورد استفاده منجر به افزایش جریان مدار-کوتاه سلول‌های خورشیدی می‌گردند و نانوساختار CdS با افزایش ۱۵٪ جریان مدار-کوتاه پیشتاز است. در کنار لایه‌نشانی نانوساختارهای نیمرسانا بر سطح TiO_2 -نانوکامپوزیت‌های TiO_2 -نمیرسانا به کمک روش هیدروترمال سنتز گردید و بکمک روش دکتر بلید بر سطح FTO لایه‌نشانی گردید. نتایج نشان داد که این سطوح نانوکامپوزیت نسبت به سطوح دیگر عملکرد ضعیفتری از خود نشان می‌دهند که مهمترین علت آن را می‌توان به تخلخل کمتر P25 نسبت به TiO_2 سنتزی نسبت به داد. بخش دیگری از کار تحقیقاتی بر ساخت نانوساختارهای TiO_2 دوپه شده با برخی از عناصر فلزات واسطه نظری Zr، Nb، Mo، Cu، Mn، Ag و Cd به کمک روش سل-ژل متمرکر گردید. در واقع از این ساختارهای فوتوکاتالیستی به عنوان لایه‌ی جاذب نور به منظور افزایش جذب نور و انتقال الکtron در سلول‌های خورشیدی رنگدانه‌ای بهره گرفته شد. نتایج نشان داد که تمامی ساختارهای دوپه شده منجر به افزایش جریان مدار-کوتاه می‌گردند. بهترین افزایش انتقال الکtron به مدار خارجی مربوط به نانوساختار Ag-TiO₂ بود که منجر به افزایش چند برابری جریان مدار-کوتاه نسبت به ساختار آناتاز خالص گردید. نهایتاً ساختار آناتاز خالص و ساختارهای دوپه شده از نقطه‌نظر ساختار نوار انرژی، چگالی حالات الکترونی و خواص نوری به وسیله بسته‌ی نرم‌افزاری کستپ مورد بررسی قرار گرفتند. نتایج نشان داد به دلیل مشارکت اوربیتال‌های d این

عناصر در شکاف انرژی آناتاز، حالات الکترونی جدیدی در میانه‌ی گاف انرژی آناتاز ایجاد می‌شود که انتقال الکترون را تسريع کرده و این ساختارها را به منظور کاربردهای فتوولتایی مناسب می‌سازد.

كلمات کلیدی: سلول خورشیدی، نانوساختار، SILAR، دوپ، جاذب نور.

فهرست مطالب

۱ فصل اول
۲۱-۱- معرفی نیمههادی های نانوساختار.....
۳۱-۱-۱- ویژگی های بنیادی نیمههادی ها.....
۴۲- سلول های خورشیدی.....
۵۲-۱- سلول های خورشیدی رنگدانه ای.....
۷۲-۲-۱- سلول های خورشیدی بر پایه TiO_2
۱۲۳- ساختار سلول های خورشیدی حساس شده با رنگدانه.....
۱۲۱-۳-۱- زیرلایه.....
۱۳۲-۳-۱- فتوالکترود (نیمههادی ها).....
۱۴۳-۳-۱- رنگدانه حساس به نور.....
۱۶۴-۳-۱- الکتروولیت اکسایش - کاهش.....
۱۶۵-۳-۱- الکترود کمکی.....
۱۶۴-۴- سازوکار عملکرد سلول های خورشیدی رنگدانه ای.....
۱۸۵- روش های مناسب لایه نشانی.....
۲۱۱-۵-۱- لایه نشانی به روش الکتروفورز.....
۲۳۶- نقطاً کوانتمومی.....
۲۳۷- روش سل-ژل.....
۲۹۸-۱- هیدروترمال - سولوترمال.....
۳۳۹-۱- عملکرد نانوساختارهای نیمه رسانای PbS , $CdTe$, $CdSe$ و CdS در سلول های خورشیدی رنگدانه ای.....
۳۵۱۰-۱- روش های شیمیایی لایه نشانی مورد استفاده در این پروژه.....
۳۵۱۰-۱-۱- روش جذب و واکنش لایه بیونی متوالی (SILAR).....
۳۶۱۰-۱-۲- روش لایه نشانی حمام شیمیایی (CBD).....
۳۸۱۰-۱-۳- روش مایکروویو.....
۳۹۱۰-۱-۴- روش قطره چکانی- ریخته گری.....
۴۰۱۱-۱- ساختارهای TiO_2 دوپه شده با عناصر فلزات واسطه.....
۴۱۱۲-۱- آشنایی با کد کستپ.....
۴۱۱۲-۱-۱- تاریخچه کد کستپ.....
۴۳۱۲-۱-۲- تئوری و تقریب.....
۴۳۱۲-۱-۳- بهینه سازی هندسه.....
۴۴۱۳-۱- هدف های کلی تحقیق.....
۴۵ فصل دوم
۴۷۱-۲- روش الکتروفورز به منظور لایه نشانی TiO_2 بر سطح FTO.....
۴۷۱-۱-۲- وسایل آزمایشگاهی.....

۴۷	۲-۱-۲- مواد شیمیایی.....
۴۷	۲-۱-۳- آماده سازی شیشه های FTO
۴۸	۲-۱-۴- آماده سازی محلول الکتروولیت مورد استفاده در روش الکتروفورز
۴۸	۲-۱-۵- آماده سازی الکترودها.....
۴۹	۲-۱-۶- انجام لایه نشانی الکتروفورز
۵۰	۲-۱-۷- عملیات حرارتی بعد از لایه نشانی
۵۰	۲-۲- روشنی لایه نشانی SILAR
۵۰	۲-۲-۱- وسایل آزمایشگاهی
۵۱	۲-۲-۲- مواد شیمیایی.....
۵۱	۲-۲-۳- آماده سازی محلول ها به منظور لایه نشانی
۵۱	۲-۲-۴- انجام مراحل SILAR
۵۲	۲-۲-۵- عملیات حرارتی بعد از لایه نشانی
۵۲	۲-۳- روشنی لایه نشانی حمام شیمیایی
۵۲	۲-۳-۱- وسایل آزمایشگاهی
۵۳	۲-۳-۲- آماده سازی محلول CBD
۵۴	۴-۲- روشنی مایکرووبو به منظور لایه نشانی نانوساختارهای CdS و PbS بر سطح TiO ₂
۵۴	۴-۲-۱- وسایل آزمایشگاهی
۵۴	۴-۲-۲- مواد شیمیایی
۵۴	۴-۲-۳- روشن کار
۵۵	۵-۲- روشنی Drop-Cast به منظور لایه نشانی CdTe و CdSe بر سطح TiO ₂
۵۵	۵-۲-۱- مواد شیمیایی
۵۵	۵-۲-۲- تهیه نانوساختارهای CdSe
۵۶	۵-۲-۳- تهیه نانوساختارهای CdTe
۵۶	۵-۲-۴- روشن کار
۵۷	۵-۲-۵- عملیات حرارتی بعد از لایه نشانی
۵۷	۶-۲- روشن هیدرотرمال به منظور تهیی نانوکامپوزیت های بر پایه TiO ₂
۵۷	۶-۲-۱- وسایل آزمایشگاهی
۵۸	۶-۲-۲- مواد شیمیایی
۵۸	۶-۲-۳- روشن کار
۵۹	۷-۲- لایه نشانی نانوکامپوزیت به کمک روشن تیغه تنظیم
۶۰	۸-۲- روشن سل-ژل به منظور ساخت نانوساختارهای TiO ₂ دوپه شده با عناصر فلزات واسطه
۶۰	۸-۲-۱- وسایل آزمایشگاهی
۶۰	۸-۲-۲- مواد شیمیایی
۶۰	۸-۲-۳- روشن کار
۶۱	۹-۲- لایه نشانی نانوساختارهای دوپه شده بر سطح FTO
۶۱	۱۰-۲- ساخت سلول خورشیدی حساس شده با رنگدانه

۶۲	۱-۱-۰-۲- آماده کردن کاتد
۶۳	۲-۱۰-۲- آماده سازی آند
۶۳	۳-۱۰-۲- بستن سلول خورشیدی از آند و کاتد ایجاد شده
۶۵	۱۱-۲- دستگاههای مورد استفاده برای شناسایی محصولات

۶۷ فصل سوم

۶۹	۱-۳- شناسایی نانوساختارهای CdS لایه نشانی شده بر سطح TiO_2
۶۹	۱-۱-۱- الگوی پراش پرتوی ایکس (XRD)
۷۰	۱-۱-۲- آنالیز EDS
۷۲	۱-۱-۳- تصاویر SEM سطوح
۷۴	۱-۱-۴- تصاویر SEM مقطع عرضی
۷۹	۱-۱-۵- آنالیز میکروسکوپی نیروی اتمی (AFM)
۸۰	۱-۱-۶- بررسی خواص نوری
۸۴	۱-۱-۷- بررسی میزان جذب رنگ به وسیله سطوح
۸۴	۱-۱-۸- بررسی عملکرد سلولهای خورشیدی ساخته شده
۸۹	۱-۱-۹- نتیجه‌گیری
۸۹	۲-۱- شناسایی نانوساختارهای PbS لایه نشانی شده بر سطح TiO_2
۸۹	۲-۱-۲- الگوی پراش اشعه ایکس (XRD)
۹۱	۲-۱-۲-۳- آنالیز EDS
۹۳	۲-۱-۳- تصاویر SEM
۹۳	۲-۱-۴- تصاویر SEM مقطع عرضی
۹۷	۲-۱-۵- آنالیز میکروسکوپی نیروی اتمی (AFM)
۹۹	۲-۱-۷- بررسی میزان رنگ جذب شده
۱۰۲	۲-۱-۹- نتیجه‌گیری
۱۰۲	۳-۱- شناسایی نانوساختارهای CdSe لایه نشانی شده بر ساختار TiO_2
۱۰۲	۳-۱-۱- تصاویر پراش اشعه ایکس (XRD)
۱۰۳	۳-۱-۲- آنالیز EDS
۱۰۵	۳-۱-۳- تصاویر SEM
۱۰۷	۳-۱-۴- تصاویر SEM مقطع عرضی
۱۰۸	۳-۱-۵- آنالیز AFM
۱۰۸	۳-۱-۶- بررسی خواص نوری
۱۱۰	۳-۱-۷- بررسی میزان رنگ جذب شده به وسیله سطوح
۱۱۳	۴-۱- شناسایی نانوساختارهای CdTe لایه نشانی شده بر سطح TiO_2
۱۱۳	۴-۱-۱- الگوی پراش اشعه ایکس (XRD)
۱۱۳	۴-۱-۲- آنالیز EDS
۱۱۵	۴-۱-۳- تصاویر SEM
۱۱۸	۴-۱-۴- تصاویر SEM مقطع عرضی

۱۱۹	۵-۴-۳- آنالیز میکروسکوپی نیروی اتمی
۱۱۹	۶-۴-۳- بررسی خواص نوری
۱۲۴	۹-۴-۳- نتیجه‌گیری
۱۲۵	۵-۳- نانوساختارهای TiO_2 دوپه شده با عناظر فلزی
۱۲۵	۳- شناسایی نانوساختارهای TiO_2 خالص تهیه شده به روش سل-ژل
۱۲۵	۳- ۱- تصویر الگوی پراش اشعه ایکس (XRD) و طیف EDS
۱۲۷	۳- ۲- تصویر SEM
۱۲۸	۳- ۳- بررسی خواص نوری
۱۲۸	۳- ۲- شناسایی نانوساختارهای $Nb-TiO_2$ تهیه شده به روش سل-ژل
۱۲۸	۳- ۱- تصویر الگوی پراش اشعه ایکس (XRD) و طیف EDS
۱۳۰	۳- ۲- تصویر SEM
۱۳۱	۳- ۳- بررسی خواص نوری
۱۳۱	۳- ۳- شناسایی نانوساختارهای $Mo-TiO_2$ تهیه شده به روش سل-ژل
۱۳۱	۳- ۱- تصویر الگوی پراش اشعه ایکس (XRD) و طیف EDS
۱۳۳	۳- ۲- تصویر SEM
۱۳۴	۳- ۳- بررسی خواص نوری
۱۳۴	۳- ۴- شناسایی نانوساختارهای $Mn-TiO_2$ تهیه شده با روش سل-ژل
۱۳۴	۳- ۱- تصویر الگوی پراش اشعه ایکس (XRD) و طیف EDS
۱۳۶	۳- ۲- تصویر SEM
۱۳۷	۳- ۴- بررسی خواص نوری
۱۳۷	۳- ۵- شناسایی نانوساختارهای $Zr-TiO_2$ تهیه شده با روش سل-ژل
۱۳۷	۳- ۱- تصویر الگوی پراش اشعه ایکس (XRD) و طیف EDS
۱۳۹	۳- ۲- تصویر SEM
۱۴۰	۳- ۵- بررسی خواص نوری
۱۴۰	۳- ۶- شناسایی نانوساختارهای $Cu-TiO_2$ تهیه شده به روش سل-ژل
۱۴۰	۳- ۱- تصویر الگوی پراش اشعه ایکس (XRD) و طیف EDS
۱۴۲	۳- ۲- تصویر SEM
۱۴۳	۳- ۶- بررسی خواص نوری
۱۴۳	۳- ۷- شناسایی نانوساختارهای $Ag-TiO_2$ تهیه شده به روش سل-ژل
۱۴۳	۳- ۱- تصویر الگوی پراش اشعه ایکس (XRD) و طیف EDS
۱۴۴	۳- ۲- تصویر SEM
۱۴۶	۳- ۷- بررسی خواص نوری
۱۴۶	۳- ۸- شناسایی نانوساختارهای $Cd-TiO_2$ تهیه شده به روش سل-ژل
۱۴۶	۳- ۱- تصویر الگوی پراش اشعه ایکس (XRD) و طیف EDS
۱۴۸	۳- ۲- تصویر SEM
۱۴۹	۳- ۸- بررسی خواص نوری

۱۴۹ مقایسه خواص نوری نمونه‌های دوپه شده	-۳-۵-۹
۱۴۹ مقایسه طیف جذبی نمونه‌های دوپه شده	-۳-۵-۹-۱
۱۵۰ ۳-۵-۹-۳- محاسبه شکاف انرژی نمونه‌های دوپه شده و مقایسه‌ی آن‌ها	
۱۵۱ ۳-۵-۹-۱۰- نتیجه‌گیری	
۱۵۲ ۳-۶-۶- محاسبات ساختار خالص و ساختارهای دوپه شده‌ی آناتاز به وسیله کد کستپ	
۱۵۲ ۳-۶-۱- محاسبات ساختار TiO_2 خالص	
۱۵۴ ۳-۶-۲- محاسبات ساختار $Zr-TiO_2$	
۱۵۵ ۳-۶-۳- محاسبات ساختار $Nb-TiO_2$	
۱۵۷ ۳-۶-۴- محاسبات ساختار $Mo-TiO_2$	
۱۵۸ ۳-۶-۵- محاسبات ساختار $Mn-TiO_2$	
۱۶۰ ۳-۶-۶- محاسبات ساختار $Cu-TiO_2$	
۱۶۱ ۳-۶-۷- محاسبات ساختار $Ag-TiO_2$	
۱۶۳ ۳-۶-۸- محاسبات ساختار $Cd-TiO_2$	
۱۶۴ ۳-۶-۹- بررسی خواص نوری نمونه‌های دوپه شده مختلف حاصل از محاسبات	
۱۶۵ ۳-۶-۱۰- نتیجه‌گیری	
۱۶۶ ۳-۷-۷- ساخت سلول‌های خورشیدی رنگدانه‌ای از ساختارهای دوپه شده	
۱۶۶ ۳-۷-۱- بررسی عملکرد سلول‌های خورشیدی ساخته شده از نمونه‌های TiO_2 دوپه شده	
۱۶۹ ۳-۷-۲- نتیجه‌گیری	
۱۷۰ ۳-۸- نتیجه‌گیری	
۱۷۲ منابع و مأخذ	

فهرست شکل‌ها

فصل اول

..... ۱-۱- نمایش نوار هدایت، ظرفیت و سطح فرمی در یک نیمه‌هادی ذاتی.	۴
..... ۱-۲- عملکرد و سطح انرژی سلول‌های خورشیدی DSSC	۷
..... ۱-۳- دیاگرام انرژی مربوط به TiO_2 محاسبه شده توسط دائوند. فلش‌ها نمایان گر تعداد اندکی از انتقال‌های مجاز مستقیم و غیرمستقیم است. سطح X_{2a} برای راحتی در انرژی صفر قرار داده شده است	۸
..... ۱-۴- شبکه‌های براویس (نقاط) و اولین ناحیه بریلوین مربوطه برای (a) شبکه مربعی و (b) شبکه هگزاگونالی	۸
..... ۱-۵- تصویر میکروسکوپ الکترونی روبشی (SEM) فیلم نیمه‌هادی مورد استفاده در سلول‌های DSSC حاوی نانو ذرات TiO_2 با فاز آناتاز	۹
..... ۱-۶- ساختار هندسی TiO_2 آناتاز	۱۰
..... ۱-۷- شماتیک FTO و ITO	۱۳
..... ۱-۸- ساختار بلوری TiO_2	۱۴
..... ۱-۹- رنگدانه‌های کمپلکس روتنیوم بی‌پیریدین (Z907, N719, N3) و $N749$	۱۵
..... ۱-۱۰- نحوه جذب سطحی رنگدانه کمپلکس روتنیوم بی‌پیریدین بر روی TiO_2	۱۵
..... ۱-۱۱- رنگدانه‌های آلی	۱۵
..... ۱-۱۲- سازوکار عملکرد DSSC	۱۸
..... ۱-۱۳- نحوه انجام فرآیند الکتروفورز	۲۲
..... ۱-۱۴- مراحل تهییه کاتالیزورهای سل-ژل	۲۴
..... ۱-۱۵- خشک کردن تبخیری نیروی‌های تراکمی قوی به طرف داخل که به وسیله‌ی نیروی کشش سطحی ژل در حال خشک شدن به وجود می‌آید	۲۷
..... ۱-۱۶- نمودار فشار - دمای روش‌های مختلف ساخت مواد	۳۱
..... ۱-۱۷- نوعی اتوکلاو مورد استفاده در فرآیند هیدرورترمال	۳۳
..... ۱-۱۸- شماتیک انتقال الکترون از TiO_2 به $N719$ در غیاب (چپ) و حضور (راست) CdS	۳۴
..... ۱-۱۹- مراحل انجام روش Drop-Cast	۳۹

فصل دوم

..... ۲-۱- تصویر منبع تغذیه، مولتی متر و الکترودهای مورد استفاده در روش الکتروفورز	۴۹
..... ۲-۲- شماتیک فرآیند الکتروفورز	۵۰
..... ۲-۳- مراحل انجام روش SILAR	۵۲
..... ۲-۴- شماتیک فرآیند CBD	۵۳
..... ۲-۵- شماتیک فرآیند لایه نشانی به وسیله مایکروویو	۵۴
..... ۲-۶- شماتیک روش Drop-Cast	۵۷
..... ۲-۷- تصویر دریل مخصوص سوراخ کردن شیشه (چپ) و نمونه‌ای از یک شیشه‌ی سوراخ شده (راست)	۶۳

فصل سوم

..... ۳-۱(a-f) به ترتیب الگوی XRD نمونه‌های FTO, B1, B2, S1-S3	۷۱
--	----

۷۱ شکل ۳-۲-الگوی XRD نمونه‌ی S4*
۷۲ شکل ۳-۳(a-d). طیف EDS نمونه‌های S3, S2, S1 و S4*
۷۳ شکل ۳-۴ (a-e) به ترتیب تصاویر SEM (راست) و طرح پردازش شده‌ی ترک‌های سطحی (چپ) نمونه‌های S1, S2, B1, B2, B3
۷۴ شکل ۳-۵ (a) تصویر SEM و (b) TEM نمونه‌ی S3
۷۵ شکل ۳-۶ (a-f)- به ترتیب تصاویر سطح مقطع نمونه‌های B1, B2, S1, S2 و S3
۷۶ شکل ۳-۷ (a-c) به ترتیب تصاویر AFM دو بعدی (چپ) و سه بعدی (راست) نمونه‌های B1, S1 و S3
۷۷ شکل ۳-۸- به ترتیب طیف جذبی و نمودار ² ($\alpha h\nu$) در برابر (hv) نمونه‌های S1-S4, TiO ₂ /Dye, B2, B1
۷۸ شکل ۳-۹ (a-f) به ترتیب طیف UV-Vis محلول رنگ واجذب شده از سطوح نمونه‌های B1, B2, B3
۷۹ شکل ۳-۱۰ (a-f) منحنی چگالی ولتاژ-جریان سلول‌های خورشیدی تهیه شده از نمونه‌های B1, S1-S4, B2, B1
۸۰ شکل ۳-۱۱ -شماتیک سلول خورشیدی CdS-TiO ₂ و انتقال الکترون از رنگدانه به وسیله TiO ₂
۸۱ شکل ۳-۱۲-(a-c)- به ترتیب الگوی XRD نمونه‌های P1-P3
۸۲ شکل ۳-۱۳-الگوی XRD نمونه‌ی P4*
۸۳ شکل ۳-۱۴(a-d)- به ترتیب طیف EDS نمونه‌های P1-P4
۸۴ شکل ۳-۱۵ (a-c) به ترتیب تصاویر SEM (راست) و طرح پردازش شده‌ی ترک‌های سطحی (چپ) نمونه‌های P1-P3
۸۵ شکل ۳-۱۶- (a) تصویر SEM و (b) TEM نمونه‌ی P4*
۸۶ شکل ۳-۱۷ (a-d)- به ترتیب تصاویر سطح مقطع نمونه‌های P1-P4
۸۷ شکل ۳-۱۸ (a) و (b)- به ترتیب تصاویر AFM دو بعدی (چپ) و سه بعدی (راست) نمونه‌های P1 و P3
۸۸ شکل ۳-۱۹ (a-d)- به ترتیب طیف جذبی و نمودار ² ($\alpha h\nu$) در برابر (hv) نمونه‌های P1-P4
۸۹ شکل ۳-۲۰ (a-d) به ترتیب طیف UV-Vis محلول رنگ واجذب شده از سطوح نمونه‌های P1-P4
۹۰ شکل ۳-۲۱ (a-e) منحنی چگالی ولتاژ-جریان سلول‌های خورشیدی تهیه شده از نمونه‌های P1-P4
۹۱ شکل ۳-۲۲-شماتیک سلول خورشیدی PbS-TiO ₂ و انتقال الکترون از رنگدانه به وسیله PbS در دو حالت توده‌ای و نانوساختار
۹۲ شکل ۳-۲۳ (a و b) به ترتیب الگوی XRD نمونه‌های Se1 و Se2
۹۳ شکل ۳-۲۴-الگوی XRD نمونه‌ی Se3*
۹۴ شکل ۳-۲۵ (a-c)- به ترتیب طیف EDS نمونه‌های Se1, Se2 و Se3*
۹۵ شکل ۳-۲۶ (a) و (b)- تصاویر SEM (راست) و طرح پردازش شده‌ی ترک‌های سطحی (چپ) نمونه‌های Se1 و Se2
۹۶ شکل ۳-۲۷- تصویر SEM نمونه‌ی P3*
۹۷ شکل ۳-۲۸ (a-c)- به ترتیب تصاویر سطح مقطع نمونه‌های Se1-Se3
۹۸ شکل ۳-۲۹ (a) و (b)- به ترتیب تصاویر AFM دو بعدی (چپ) و سه بعدی (راست) نمونه‌های Se1 و Se2
۹۹ شکل ۳-۳۰- طیف جذبی و نمودار ² ($\alpha h\nu$) در برابر (hv) نمونه‌های Se1-Se3
۱۰۰ شکل ۳-۳۱ (a-c)- طیف UV-Vis محلول رنگ واجذب شده از سطوح نمونه‌های Se1-Se3
۱۰۱ شکل ۳-۳۲ (a-c)- منحنی چگالی ولتاژ-جریان سلول‌های خورشیدی تهیه شده از نمونه‌های Se1-Se3
۱۰۲ شکل ۳-۳۳-شماتیک سلول خورشیدی CdSe-TiO ₂
۱۰۳ شکل ۳-۳۴ (a و b)- به ترتیب الگوی XRD نمونه‌های Te1 و Te2
۱۰۴ شکل ۳-۳۵-الگوی XRD نمونه‌ی Te3*

۱۱۵ شکل ۳-۳ (a و b)- طیف EDS نمونه‌های Te1 و Te3*
۱۱۶ شکل ۳-۳ (a و b)- به ترتیب تصاویر SEM (راست) و طرح پردازش شده‌ی ترک‌های سطحی (چپ) نمونه‌های Te1 و Te2
۱۱۷ شکل ۳-۳ (a-c)- تصویر SEM نمونه‌ی Te3*
۱۱۸ شکل ۳-۳ (a-c)- به ترتیب تصاویر سطح مقطع نمونه‌های Te1-Te3
۱۱۹ شکل ۳-۳ (a و b)- به ترتیب تصاویر AFM دو بعدی (چپ) و سه بعدی (راست) نمونه‌های Te1 و Te2
۱۲۰ شکل ۳-۳ (a-c)- طیف جذبی و نمودار ² (hv) در برابر (αhv) نمونه‌های Te1-Te3
۱۲۱ شکل ۳-۳ (a-c)- به ترتیب طیف UV-Vis محلول رنگ واجذب شده از سطوح نمونه‌های Te1-Te3
۱۲۲ شکل ۳-۳ (a-c)- منحنی چگالی ولتاژ-جریان سلول‌های خورشیدی تهیه شده از نمونه‌های Te1-Te3
۱۲۳ شکل ۳-۴۴- شماتیک ساختار سلول خورشیدی CdTe-TiO ₂ و نحوه انتقال الکترون از رنگدانه به نیمه‌رسانا در دو حالت تودهای و نانوساختار.
۱۲۴ شکل ۳-۴۵- منحنی چگالی جریان- ولتاژ سلول‌های خورشیدی مشکل از لایه‌های نانوساختار نیمه‌رسانای لایه نشانی شده بر سطح TiO ₂
۱۲۶ شکل ۳-۴۶- تصویر XRD نمونه‌ی TiO ₂ خالص
۱۲۶ شکل ۳-۴۷- طیف EDS نمونه‌ی TiO ₂ خالص
۱۲۷ شکل ۳-۴۸- تصویر SEM نمونه‌ی TiO ₂ خالص
۱۲۸ شکل ۳-۴۹- طیف جذبی نمونه‌ی TiO ₂ خالص
۱۲۹ شکل ۳-۵۰- تصویر XRD نمونه‌ی Nb-TiO ₂
۱۲۹ شکل ۳-۵۱- طیف EDS نمونه‌ی Nb-TiO ₂
۱۳۰ شکل ۳-۵۲- تصویر SEM نمونه‌ی Nb-TiO ₂
۱۳۱ شکل ۳-۵۳- طیف جذبی نمونه‌ی Nb-TiO ₂
۱۳۲ شکل ۳-۵۴- تصویر XRD نمونه‌ی Mo-TiO ₂
۱۳۲ شکل ۳-۵۵- طیف EDS نمونه‌ی Mo-TiO ₂
۱۳۳ شکل ۳-۵۶- تصویر SEM نمونه‌ی Mo-TiO ₂
۱۳۴ شکل ۳-۵۷- طیف جذبی نمونه‌ی Mo-TiO ₂
۱۳۵ شکل ۳-۵۸- تصویر XRD نمونه‌ی Mn-TiO ₂
۱۳۵ شکل ۳-۵۹- طیف EDS نمونه‌ی Mn-TiO ₂
۱۳۶ شکل ۳-۶۰- تصویر SEM نمونه‌ی Mn-TiO ₂
۱۳۷ شکل ۳-۶۱- منحنی جذبی نمونه‌ی Mn-TiO ₂
۱۳۸ شکل ۳-۶۲- تصویر XRD نمونه‌ی Zr-TiO ₂
۱۳۸ شکل ۳-۶۳- طیف EDS نمونه‌ی Zr-TiO ₂
۱۳۹ شکل ۳-۶۴- تصویر SEM نمونه‌ی Zr-TiO ₂
۱۴۰ شکل ۳-۶۵- طیف جذبی نمونه‌ی Zr-TiO ₂
۱۴۱ شکل ۳-۶۶- تصویر XRD نمونه‌ی Cu-TiO ₂
۱۴۱ شکل ۳-۶۷- طیف EDS نمونه‌ی Cu-TiO ₂
۱۴۲ شکل ۳-۶۸- تصویر SEM نمونه‌ی Cu-TiO ₂
۱۴۳ شکل ۳-۶۹- طیف جذبی نمونه‌ی Cu-TiO ₂

۱۴۴ شکل ۳ -۷۰- تصویر XRD نمونه‌ی Ag-TiO ₂
۱۴۴ شکل ۳ -۷۱- طیف EDS نمونه‌ی Ag-TiO ₂
۱۴۵ شکل ۳ -۷۲- تصویر SEM نمونه‌ی Ag-TiO ₂
۱۴۶ شکل ۳ -۷۳- طیف جذبی نمونه‌ی Ag-TiO ₂
۱۴۷ شکل ۳ -۷۴- تصویر XRD نمونه‌ی Cd-TiO ₂
۱۴۷ شکل ۳ -۷۵- طیف EDS نمونه‌ی Cd-TiO ₂
۱۴۸ شکل ۳ -۷۶- تصویر SEM نمونه‌ی Cd-TiO ₂
۱۴۹ شکل ۳ -۷۷- طیف جذبی نمونه‌ی Cd-TiO ₂
۱۵۰ شکل ۳ -۷۸- طیف جذبی TiO ₂ خالص و تمامی نمونه‌های دوپه شده
۱۵۱ شکل ۳ -۷۹- منحنی $(\alpha h\nu)^2$ در برابر $h\nu$ نمونه‌ی TiO ₂ خالص و تمامی نمونه‌های دوپه شده
۱۵۳ شکل ۳ -۸۰- ساختار نوار انرژی و منحنی DOS نمونه‌ی TiO ₂ خالص
۱۵۳ شکل ۳ -۸۱- منحنی PDOS نمونه‌ی TiO ₂ خالص
۱۵۴ شکل ۳ -۸۲- ساختار نوار انرژی و منحنی DOS نمونه‌ی Zr-TiO ₂
۱۵۵ شکل ۳ -۸۳- منحنی PDOS عناصر و ترکیب Zr-TiO ₂
۱۵۶ شکل ۳ -۸۴- ساختار نوار انرژی و منحنی DOS نمونه‌ی Nb-TiO ₂
۱۵۶ شکل ۳ -۸۵- منحنی PDOS عناصر و ترکیب Nb-TiO ₂
۱۵۷ شکل ۳ -۸۶- ساختار نوار انرژی و منحنی DOS نمونه‌ی Mo-TiO ₂
۱۵۸ شکل ۳ -۸۷- منحنی PDOS عناصر و ترکیب Mo-TiO ₂
۱۵۹ شکل ۳ -۸۸- ساختار نوار انرژی و منحنی DOS نمونه‌ی Mn-TiO ₂
۱۵۹ شکل ۳ -۸۹- منحنی PDOS عناصر و ترکیب Mn-TiO ₂
۱۶۰ شکل ۳ -۹۰- ساختار نوار انرژی و منحنی DOS نمونه‌ی Cu-TiO ₂
۱۶۱ شکل ۳ -۹۱- منحنی PDOS عناصر و ترکیب Cu-TiO ₂
۱۶۲ شکل ۳ -۹۲- ساختار نوار انرژی و منحنی DOS نمونه‌ی Ag-TiO ₂
۱۶۲ شکل ۳ -۹۳- منحنی PDOS عناصر و ترکیب Ag-TiO ₂
۱۶۳ شکل ۳ -۹۴- ساختار نوار انرژی و منحنی DOS نمونه‌ی Cd-TiO ₂
۱۶۴ شکل ۳ -۹۵- منحنی PDOS عناصر و ترکیب Cd-TiO ₂
۱۶۵ شکل ۳ -۹۶- منحنی جذبی نمونه‌ی TiO ₂ خالص و تمامی نمونه‌های دوپه شده حاصل از محاسبات.
۱۶۷ شکل ۳ -۹۷- شماتیک ساختار سلول خورشیدی M-TiO ₂ (فلز واسطه (M=)
۱۶۸ شکل ۳ -۹۸- منحنی چگالی ولتاژ- جریان سلولهای خورشیدی M-TiO ₂ (فلز واسطه = M) حساس شده با رنگدانه‌ی Eosin Y

فهرست جدول‌ها

فصل دوم

جدول ۲-۱	- انواع مواد شیمیایی مورد استفاده در روش الکتروفورز.....	۴۷
جدول ۲-۲	- انواع مواد شیمیایی مورد استفاده در لایه نشانی SILAR.....	۵۱
جدول ۲-۳	- انواع مواد شیمیایی مورد استفاده در روش CBD.....	۵۳
جدول ۲-۴	- انواع مواد شیمیایی مورد استفاده در روش Drop-Cast.....	۵۵
جدول ۲-۵	- انواع مواد شیمیایی مورد استفاده در تهیهٔ نانوساختارهای کامپوزیتی.....	۵۸
جدول ۲-۶	- نام و ساختار نانوکامپوزیتهای مختلف.....	۵۹
جدول ۲-۷	- انواع مواد شیمیایی مورد استفاده در روش سل-ژل.....	۶۰
جدول ۲-۸	- انواع مواد شیمیایی مورد استفاده در ساخت سلول‌های خورشیدی رنگدانه‌ای.....	۶۲
جدول ۲-۹	- شرایط آماده سازی نمونه‌های TiO_2 خالص.....	۶۴
جدول ۲-۱۰	- شرایط آماده سازی نمونه‌های TiO_2-CdS	۶۴
جدول ۲-۱۱	- شرایط آماده سازی نمونه‌های TiO_2-PbS	۶۴
جدول ۲-۱۲	- شرایط آماده سازی نمونه‌های TiO_2-CdSe	۶۵
جدول ۲-۱۳	- شرایط آماده سازی نمونه‌های TiO_2-CdTe	۶۵

فصل سوم

جدول ۳-۱	- مقادیر شکاف انرژی نمونه‌های مختلف.....	۸۳
جدول ۳-۲	- ویژگی‌های فوتولوئی نمونه‌های B1، B2 و S1-S4.....	۸۸
جدول ۳-۳	- مقادیر شکاف انرژی نمونه‌های P1-P4.....	۹۹
جدول ۳-۴	- ویژگی‌های فوتولوئی نمونه‌های P1-P4.....	۱۰۱
جدول ۳-۵	- مقادیر شکاف انرژی نمونه‌های Se1-Se3.....	۱۰۹
جدول ۳-۶	- ویژگی فوتولوئی نمونه‌های Se1-Se3.....	۱۱۲
جدول ۳-۷	- مقادیر شکاف انرژی نمونه‌های Te1-Te3.....	۱۲۰
جدول ۳-۸	- ویژگی‌های فوتولوئی نمونه‌های Te1-Te3.....	۱۲۳
جدول ۳-۹	- ویژگی‌های فوتولوئی سلول‌های خورشیدی متشكل از لایه‌های نانوساختار نیمه‌رسانی لایه نشانی شده بر سطح TiO_2	۱۲۵
جدول ۳-۱۰	- مقادیر شکاف انرژی نمونه‌های TiO_2 دوپه شده با عناصر مختلف.....	۱۵۱
جدول ۳-۱۱	- ویژگی‌های فوتولوئی نمونه‌های M- TiO_2 (فلز واسطه = M).....	۱۶۹

فهرست علائم و اختصارات (Abbreviations)

EDS	Energy Dispersive Spectroscopy
mA	Miliamper
SEM	Scanning Electron Microscope
TEM	Transmission Electron Microscope
XRD	X-ray diffraction pattern
J _{SC}	Short Circuit current density
V _{OC}	Open Circuit Volate
FF	Fill Factor
Cross-SEM	Cross section SEM
DRS	Diffuse reflectance spectroscopy
AFM	Atomic Force Microscopy
SILAR	Successive ionic layer adsorption and reaction
CBD	Chemical bath deposition
MW	Microwave
DB	Doctor-blade
FTO	Fluorine doped Tin Oxide
R	Reflectance

فصل اول

مقدمة

۴ مقدمه

۱-۱- معرفی نیمه‌هادی‌های نانوساختار

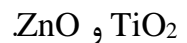
از اوایل قرن ۲۱ نانو فناوری به سرعت شروع به گسترش کرده و به بسیاری از حوزه‌ها نظیر الکترونیک، علم مواد، شیمی، علوم زیستی، مکانیک و اپتوالکترونیک وارد شد. یکی از مهم‌ترین زمینه‌های توسعه‌ی این فناوری، ساخت و گسترش نیمه‌هادی‌ها^۱ بوده است. با ورود به قرن ۲۱ و تمرکز بر روی کوچک‌تر کردن ابزارها، نیمه‌هادی‌های نانوساختار از اهمیت ویژه‌ای برخوردار شدند. کاهش اندازه‌ی ابزارها از اندازه‌های میلی‌متری به میکرومتری موجب پیشرفت در فناوری ساخت بلورهای پیشرفته و فیلم‌های نازک با بلورینگی و خلوص بالا گردید.

نیمه‌هادی‌های نانوساختار کاربردهای بسیار گسترده‌ای در انواع زمینه‌ها همچون الکترونیک، اجزای نوری، کاتالیزور، حسگر، انرژی و غیره دارند. مهم‌ترین ابزارهای تولیدشده از نیمه‌هادی‌ها عبارت‌اند از: سلول‌های خورشیدی، حسگرهای گازی، کاتالیزورها، لیزرها و غیره.

یکی از مهم‌ترین کاربردهای نیمه‌هادی‌ها در ساخت سلول‌های خورشیدی است. از آنجا که تأمین انرژی پاک یکی از مهم‌ترین مسائل بشر در قرن حاضر است و از طرفی انرژی خورشیدی یک منبع

1. Semiconductors

انرژی تجدید پذیر، پاک، در دسترس و فاقد کربن است، بنابراین امروزه تحقیقات بسیاری برای گسترش کاربرد این انرژی در حال انجام است. در اغلب موارد، نیمه‌هادی‌ها به عنوان مهم‌ترین بخش در سلول‌های خورشیدی به حساب می‌آیند. تبدیل انرژی شامل جذب انرژی نور (فوتون) به وسیله یک نیمه‌هادی، در ادامه تولید جفت‌های الکترون-حفره و سپس جدا کردن حامل‌های بار است. نیمه‌هادی‌هایی که در ساخت سلول‌های خورشیدی نانوساختار از آن‌ها بهره گرفته می‌شود به چندین گروه طبقه‌بندی می‌شود که بسته به نوع سلول خورشیدی از یکی به عنوان الکترود کار استفاده می‌شود. از مهم‌ترین نیمه‌هادی‌های به کار رفته عبارت‌اند از: Si , CdS , Cu_2S , CdTe , CuInS_2 .



۱-۱-۱- ویژگی‌های بنیادی نیمه‌هادی‌ها

الکترون‌های یک اتم منفرد سطوح انرژی مجازی دارد. هنگامی که اتم به فرم بلوری در می‌آید، سطوح انرژی، به علت برهمنش‌های اتمی به سطوحی مجزا اما خیلی نزدیک به هم تبدیل می‌شود که منجر به نوار انرژی پیوسته می‌گردد. بین دو نوار که پایینی نوار ظرفیت و بالایی نوار هدایت نام دارد، یک فاصله تحت عنوان گاف انرژی^۱ وجود دارد که با E_g نمایش داده شده و پارامتر مهمی در سلول‌های خورشیدی به شمار می‌رود. در دمای صفر کلوین تمام سطوح انرژی در نوار ظرفیت به وسیله الکترون‌ها پر شده‌اند و نوار هدایت خالی است. برخی پیوندها به وسیله ارتعاش گرمایی در دمای اتفاق شکسته می‌شود زیرا گاف انرژی در محدوده $eV = 3/5$ - است. این امر موجب ایجاد الکترون‌ها در نوار هدایت و حفره‌ها در نوار ظرفیت می‌شود. نمایش نوار انرژی در شکل ۱-۱ آمده است. E_c برابر است با سطح پایین نوار هدایت و E_v سطح بالای نوار ظرفیت. E_F نیز سطح فرمی^۲

1. Band gap
2. Fermi Level